

中央大学理工学部 正員 岡内 功
本州四国連絡橋公団 正員 秋山 晴樹

1. まえがき

本州四国連絡橋耐風研究小委員会の指導のもとに、1500t級吊橋を対象とした大型模型による耐風実験が千葉県館山市相模で昭和47~49年度(冬期)に渡って実施された。この実験の目的と概要については第30回年次学術講演会I-220で、47年と48年度の観測で得られたデータの解析結果の概略については同じくI-219で、49年度の観測で得られたデータの解析結果の一部については第31回年次学術講演会I-210で、またその際用いたスペクトル計算の方法については同じくI-208で紹介しており、この報告はその続報である。

今日は、変動風が吊橋の鉛直下向き振動に及ぼす影響について、鉛直下向き・やじれ2自由度の振動実験で得られたデータを用いて、周波数領域と時間領域で解析した結果の概略を述べることとする。

2. 周波数領域での解析

ねじれ振動の影響を僅かとして無視すると、鉛直下向き応答 $S_{yy}(f)$ と主流方向変動風速 $U(f)$ 、鉛直方向変動風速 $W(f)$ の関係は、スペクトルを用いて次のように表わすことができる。

$$S_{yy}(f) = C_{yy} \cdot S_{uu}(f) + D_{yy} \cdot S_{ww}(f) \quad \dots \dots 1)$$

$$S_{yy}(f) = C_{yy} \cdot S_{uu}(f) + D_{yy} \cdot S_{ww}(f) \quad \dots \dots 2)$$

ここで

$S_{yy}(f)$ 、 $S_{uu}(f)$ 、 $S_{ww}(f)$ 、 $S_{yy}(f)$ はそれぞれ $U(f)$ と $W(f)$ 、 $U(f)$ と $W(f)$ 、 $W(f)$ と $U(f)$ のクロススペクトル、 $S_{uu}(f)$ 、 $S_{ww}(f)$ は $U(f)$ 、 $W(f)$ のパワースペクトルである。

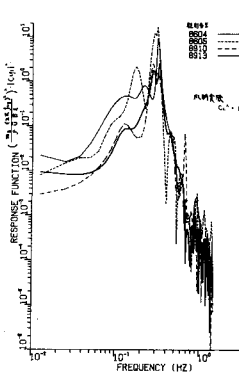


図-1 鉛直下向き応答の周波数領域 (M=2.0)

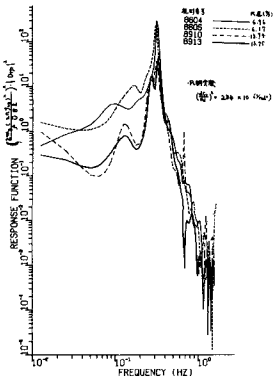


図-2 鉛直下向き応答の周波数領域 (M=2.0)

A.G. Davenport に従い、準定常理論を仮定すれば、インピーダンス C_{yy} と D_{yy} は次式のようになる

$$\left\{ \frac{m_y (2\pi f_{yy})^2}{\rho \bar{U} B L} \right\}^2 \cdot |C_{yy}|^2 = C_L^2 \cdot |A_{yu}(f)|^2 \cdot |H_{yy}(f)|^2 \quad \dots \dots 3)$$

$$\left\{ \frac{2m_y (2\pi f_{yy})^2}{\rho \bar{U} B L} \right\}^2 \cdot |D_{yy}|^2 = \left(\frac{dC_L}{dx} \right)^2 \cdot |A_{yw}(f)|^2 \cdot |H_{yy}(f)|^2 \quad \dots \dots 4)$$

ここで

C_L 、 $\frac{dC_L}{dx}$ は揚力係数および揚力勾配、 m_y は質量、

f_{yy} は固有振動数、 \bar{U} は平均風速、 ρ は空気密度、 B は模型巾、 L は模型長、 $A_{yu}(f)$ 、 $A_{yw}(f)$ は空力アドミッタンス、 $H_{yy}(f)$ は機械的アドミッタンスである。

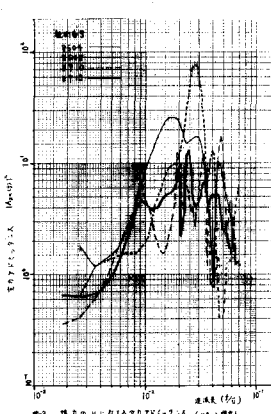


図-3 揚力の効果による応答 (M=2.0)

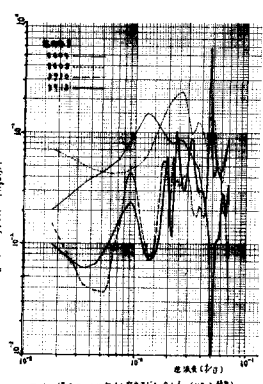


図-4 揚力の効果による応答 (M=2.0)

式(1)と(2)より C_{yy} 、 D_{yy} を求め、式(3)と(4)の形で

まとめた一例を図りとみに示す。これによると各ケースは風速によりかなり差異が見られる。

実験橋観測では静的空気力の測定も併せていたが、その際揚力計測の精度が不十分だったため、 C_L 、 $\frac{dC_L}{dx}$ と空力アドミッタンスは得られていない。そこでこれらの諸量を次の手順で求めてみた。

$f \neq 0$ では $A_{yu}(f)$ 、 $A_{yw}(f)$ 、 $H_{yy}(f)$ はいずれも 1.0 と考えられる。従って、図-1、2 の最低周波数の値はほぼ C_L^2

$(\frac{dc}{da})^2$ を示しているとみなせる。同図に整流中の小型風洞実験の結果を示したが、実験値は風洞実験値を中心にかなりばらついている。また、 $H_g(t)$ は次の式で表わされる。

$$|H_g(t)|^2 = \frac{1}{(\{1 - (\frac{\omega_{gj}}{\omega_{gj}})^2 + 4 S_{gj}(\frac{\omega_{gj}}{\omega_{gj}})\})^2 + 4 S_{gj}^2(\frac{\omega_{gj}}{\omega_{gj}})} \quad \cdots \cdots 5) \quad \therefore S_{gj} \text{ は構造減衰} \\ S_{gj} \text{ は空力減衰}$$

S_{gj} は次の理論式で表わされるとする。

$$S_{gj} = \frac{\rho B L \bar{U} \frac{dc}{da}}{4 w_{gj} m_j} \quad \cdots \cdots 6)$$

式 6) に風洞実験で得られた $\frac{dc}{da}$ を代入し計算される S_{gj} を式 5) に代入すれば $|H_g(t)|^2$ は求まる。この $H_g(t)$ を式 3), 4) に代入すれば $|A_{gj}(t)|^2$, $|A_{pj}(t)|^2$ は計算できる。こうして得られた $|A_{gj}(t)|^2$, $|A_{pj}(t)|^2$ の一例を図 3-4 に示す。これによれば両者はかなりばらついており、しかも値が 1.0 以上の部分がかなりを占めている。この原因としては観測値に含まれるノイズの影響や、振動応答の非定常性などが考えられるが詳細については今後検討中である。

3. 時間領域での解析

船直たわみ、ねじれと自由度の運動方程式を次式で表わす。

$$M_g(\ddot{y} + 2S_{gj}w_g\dot{y} + w_g^2y) = F_{se}(t) + F_{bu}(t) \quad \cdots \cdots 7)$$

$$I_g(\ddot{\alpha} + 2S_{gj}w_{ad}\dot{\alpha} + w_{ad}^2\alpha) = Q_{se}(t) + Q_{bu}(t) \quad \cdots \cdots 8)$$

$\therefore S_{gj}$, S_{ea} はたわみ、ねじれの構造減衰、 w_g , w_{ad} はたわみ、ねじれの固有内振動数、 $F_{se}(t)$, $Q_{se}(t)$ は式 9), 10) で表わされる自励力、 $F_{bu}(t)$, $B_{bu}(t)$ は式 11), 12) で表わされる運動空気力である。

$$F_{se}(t) = \frac{1}{2} \int \bar{U}^2 (2B) \left\{ K \cdot H_1 \frac{\dot{y}}{U} + K \cdot H_2 \frac{B \dot{\alpha}}{U} + K^2 H_3 \cdot \alpha + K^2 H_4 \cdot \frac{\dot{\alpha}}{B} \right\} \cdots \cdots 9)$$

$$Q_{se}(t) = \frac{1}{2} \int \bar{U}^2 (2B) \left\{ K \cdot A_1 \frac{\dot{y}}{U} + K \cdot A_2 \frac{B \dot{\alpha}}{U} + K^2 A_3 \cdot \alpha + K^2 A_4 \cdot \frac{\dot{\alpha}}{B} \right\} \cdots \cdots 10)$$

$$F_{bu}(t) = -\frac{1}{2} \int B \bar{U} w_{ad} L_{11} - \frac{1}{2} \int B \bar{U} w_{ad} L_{12} \cdots \cdots 11)$$

$$B_{bu}(t) = \frac{1}{2} \int B^2 \bar{U} w_{ad} L_{21} + \frac{1}{2} \int B^2 \bar{U} w_{ad} L_{22} \cdots \cdots 12)$$

$\therefore K = Bw/U$ は換算振動数、 $H_1 \sim H_4$, $A_1 \sim A_4$ は空気力係数である。

式 9), 10) を運動方程式として仮定し、観測で得られた風速 w_{ad} , w_{ad} と振動応答 y_{se} , α_{se} を入力と出力とすれば、方程式の諸係数は ARMA モデルにより推定できる。現在この方法により解析作業が行なわれているが、結果の一例として、式 9), 10) を式 13) ように書き換える、推定した諸係数を表 1) に示す。

$$\ddot{y} + J_{11}\dot{y} + J_{12}\dot{\alpha} + K_{11}y + K_{12}\alpha = L_{11}u + L_{12}w \quad \cdots \cdots 13)$$

$$\ddot{\alpha} + J_{22}\dot{y} + J_{21}\dot{\alpha} + K_{22}\dot{\alpha} + K_{21}y = L_{21}u + L_{22}w \quad \cdots \cdots 14)$$

表 1) には同時に、ARMA モデルによる w , α の推定値と、実測値および用波数領域での解析結果との比較を示した。これによるとそれなりに比較的よく一致している。

なお、時間領域での解析に用いた ARMA モデルのアロケーションは、コロンビア大学の藤塚教授による開発されたものである。藤塚教授をはじめ研究室の方々に深謝の意を表す。また、データ解析・検討に際し御指導いただいた本州四国連絡橋研究会委員会の委員ならびに関係者各位に重ねて深謝の意を表す。

表 1. ARMA モデルによる推定値。(船速 No. 8910)

| K_{ij} | J_{ij} | L_{ij} | | | | | |
|--------------|----------|-----------------------------|-------------|-------------------------|-------------------------|-------------------------|-------------------------|
| 3.675 | 4.112 | 0.335 -0.082 0.0001 -0.1275 | | | | | |
| 0 | 18.143 | 0 -0.019 0.0162 0.0126 | | | | | |
| H_i | H_2 | H_3 | H_4 | A_1 | A_2 | A_3 | A_4 |
| -5.84 | 0.24 | -2.81 | -0.26 | 0 | 0.04 | -0.13 | 0 |
| 個別用波数較値(正か負) | | | | 減衰定数(正か負) | | | |
| 推定値(ARMA) | 実験値 | 推定値(1) ARMA | 推定値(2) ARMA | 推定値(3) 実験値(1) (ARMA) | 推定値(4) 実験値(2) (ARMA) | 推定値(5) 実験値(3) (ARMA) | 推定値(6) 実験値(4) (ARMA) |
| 1.917 | 1.910 | 0.987 | 0.091 | 0.025 | | | |

* 推定値(1) は ARMA モデルによらず求めたもの。

" (2) は 風洞実験で得られた $\frac{dc}{da}$ の式に代入して得たもの。

" (3) は 実験機関で得られた $\frac{dc}{da}$ の式に代入して求めたもの。